

제초성, N-(2,6-dimethoxypyrimidin-2-yl)aminocarbonyl-2-치환(Z)-6-(1-hydroxy-2-fluoroethyl)benzenesulfonamide 유도체의 가수분해 반응 메카니즘

성낙도^{1*} · 이찬복² · 류재욱³ · 김대황³

¹충남대학교 농화학과, ²한국신약(주)연구소, ³한국화학연구소

초록 : 새로운 6종의 제초성, N-(2,6-dimethoxypyrimidin-2-yl)aminocarbonyl-2-치환(Z)-6-(1-hydroxy-2-fluoroethyl)benzenesulfonamide 유도체(S)를 합성하여 45°C의 15%(v/v) acetonitrile 수용액속에서 일어나는 가수분해 반응 상수를 측정하고 pH-효과, 용매효과, ortho-치환기 효과, 열 역학적 활성화 파라미터(ΔH^\ddagger 및 ΔS^\ddagger) 등의 반응 속도론적인 자료들과 pKa상수(4.80) 및 가수분해 반응 생성물(2-(1-hydroxy-2-fluoroethyl)benzenesulfonamide 및 4,6-dimethoxyaminopyrimidine) 분석 등의 비 반응 속도론적 결과로부터 반응속도식을 유도하고 반응메카니즘을 제안하였다. pH 8.0 이하에서는 일반 산-촉매반응(A-S_{E2})과 특정 산-촉매 반응으로 conjugate acid (SH^+)와 사면체 중간체(I)를 경유하는 A-2형(또는 A_{AC}2형)반응 그리고 pH 9.0 이상에서는 물 분자가 일반 염기(B)로 작용하여 conjugate base (CB)를 경유하는 (E)_{1,anion} 반응으로 진행되는 가수분해 반응 메카니즘을 검토하였으며 pH 7.0~9.0사이의 용액중에서는 이들 두 반응이 경쟁적으로 일어남을 알았다(1995년 7월 18일 접수, 1995년 10월 13일 수리).

서 론

1966년에 처음으로 sulfonyl urea계 화합물들의 제초성이 알려진 이후로 정량적인 구조-활성 관계(QSAR)에 관한 연구에 의하여 다양한 sulfonyl urea계 제초제들이 개발되고 있다.^{1,2)}

Sulfonyl urea계 제초제를 위시하여 imidazolinone, pyrimidine ether, triazine 및 pyrimidine계 제초제들은 acetolactate synthase(ALS) 저해제로 알려져 있는데³⁾ 처음 작물에 사용된 것으로는 곡류의 광엽잡초 방제에 사용되기 위하여 1982년에 개발된 Glean(Chlorosulfuron)이며 1984년에는 Ally (Metsulfuron-methyl)와 Finesse(Chlorosulfuron 및 Metsulfuron-methyl)가 등록되어 사용되기 시작하였다. 이 화합물들은 곡류에 널리 사용되었으나 토양내에서의 잔류성이 길어 윤작과 연작에 나쁜 영향을 미치므로 작물의 선택과 휴경기간이 크게 요구되는 단점이 있었다.⁴⁾ 그러나 1987년도 이후에 상품화 된 것들은 짧은 가수분해 반응의 반감기($T_{1/2}$)를 나타내도록 구조 개선이 이루어져 작물의 윤작과 연작에 대한 제한을 다소나마 줄일 수 있었으며 잔류 농약의 지속성을 최소화하고 저약량으로 소기의 효과를 얻을 수 있도록 개량되었다.⁵⁾

이러한 취지에 따라 새로 개발되어 상용화 된것으로는 중성 pH에서 초기 분해속도가 빠른 Express(Tribenuron-methyl, $T_{1/2}=13$ 시간)와 Harmony(Thiameturon-methyl, $T_{1/2}=10$ 일) 등이 있다. 이 화합물들은 잔류성은 적으나

약효 지속성이 너무 짧을 뿐만 아니라, 기존의 저항성 문제라든가 제초대상 잡초를 선택적으로 제거할 수 없다는 단점들이 만족스럽게 보완되지 못하였다.⁶⁾ 그러므로 근래에는 이전의 제초제들에 비하여 유의 할 만한 가수분해 반감기를 가지며 미량으로도 제초효과를 나타냄은 물론, 토양내 잔류성과 독성도 적고 작물에 대한 선택성이 높은 제초제를 개발²⁾하기 위한 연구에 집중되고 있다.

저자들은 농약분자들에 대한 가수분해 반응성 결과들을 QSAR의 규명에 도입하므로써 잔류수준이 개선된 활성물질의 탐색에 활용하기 위하여 사용중에 있는 살충성 유기인계 화합물인 Gardona⁷⁾와 Volatone⁸⁾ 그리고 제초성 pyridylsulfonyl urea(미발표) 등의 가수분해 반응 메카니즘을 제안하고 정량적으로 검토 한 바 있다.

본 연구에서도 적정한 잔류성과 높은 활성을 나타내는 새로운 sulfonyl urea계 제초제를 개발하기 위한 목적으로 기존의 aryl backbone을 가지는 화합물에서 한 ortho-치환기를 6-(1-hydroxy-2-fluoroethyl) group으로 고정하고 또 다른 ortho위치에 다양한 치환기(Z)가 결합된 아직까지 알려진 바 없는 6종의 N-(2,6-dimethoxypyrimidin-2-yl)aminocarbonyl-2-치환(Z)-6-(1-hydroxy-2-fluoroethyl)benzenesulfonamide 유도체(S)⁹⁾들을 합성하였다. 그리고 이들 화합물들의 가수분해 반응에 관한 pH-효과, 용매효과, ortho-치환기 효과, 열 역학적 활성화 파라미터 (ΔH^\ddagger 및 ΔS^\ddagger), pKa상수와 반응 생성물을 분석하고 반응 속도식을 유도하여 실험사실을 합리적으로 설명할

찾는말 : N-(2,6-dimethoxypyrimidin-2-yl)aminocarbonyl-2-(1-hydroxy-2-fluoroethyl)benzenesulfonamides, hydrolysis of sulfonyl urea, A_{AC}2 & (E)_{1,anion} reaction, hydrolytic degradation.

*연락저자

수 있는 가수분해 반응 메카니즘을 제안하고자 한다.

재료 및 방법

시약 및 기기

시료(S) 물질의 합성과 가수분해 반응 속도상수 측정에 사용된 대부분의 시약들은 Aldrich제 (1급) 시약을 사용하였으며 용매로는 Aldrich제를 포함하여 Fluka제 (EP급)의 tetrahydrofuran(THF), methylene chloride(MC), methanol, hexane 및 ethyl acetate 등을 사용하였다.

반응속도 상수의 측정에는 Varian-5560 Model의 HPLC 및 Pye-Unicam(PU8800) UV/Visible spectrophotometer를, 그리고 pH는 Nova 303 Model을 사용하여 조절하였다. 시료물질의 구조를 확인하기 위하여 NMR spectrum은 CDCl_3 를 용매로하고 실온에서 TMS를 내부 표준물질로 하여 Varian EM-360 Model(200MHz) spectrometer로 측정하여 chemical shift를 δ (ppm)값으로 표기하였으며 Mass spectrum은 JEOL JMS-DX 303 Model을, 그리고 IR spectrum은 Shimadzu DR-1 Model을 각각 사용하여 얻었다. 또한 화합물의 녹는점은 Thomas-Hoover Model의 융점측정기를 사용하여 측정하였다.

N-(2,6-dimethoxypyrimidin-2-yl)aminocarbonyl-2-치환(Z)-6-(1-hydroxy-2-fluoroethyl) benzenesulfonamide 유도체(S)의 합성

(1) N-t-butylbenzenesulfonamide, 1

250 mL들이 둥근 플라스크에 빙초산(12 mL), 물(100 mL) 및 진한 염산(40 mL) 그리고 Z-치환 anililine(15 mL, 0.12 mol)을 넣고 저어주면서 $-10\sim -5^\circ\text{C}$ 에서 물(13 mL)에 sodium nitrate(8.96 g)을 녹인 용액을 서서히 첨가하여 노란색의 diazonium염을 얻었다. 한편, 다른 500 mL들이 삼구 플라스크에는 초산 120 mL를 넣고 아황산 가스를 $10\sim 15$ 분 동안 주입하였다. 다음에 copper chloride(3 g)을 넣고 다시 아황산 가스를 30분간 주입시킨 녹색을 띠는 화합물을 앞서 얻은 diazonium염 용액에 서서히 첨가하여 반응시켰다.¹⁰⁾ 다음에 ether로 추출하여 sodium bicarbonate로 중화하고 분리, 농축시킨 후, 재결정(MC : hexane(1 : 1))하여 백색의 고체 1을 얻었다. Obs.m.p : $77\sim 78^\circ\text{C}$, $^1\text{H-NMR} (\text{CDCl}_3/\text{TMS})\delta$ (ppm) : 1.2 (s. 9H), 4.96 (br. s. 1H), 7.2~8.3 (m. 5H)

(2) N-t-butyl-2-(fluoroacetyl)benzenesulfonamide, 2

500 mL들이 둥근 플라스크에 1(10 g, 0.047mol)과 무수 THF를 넣고 질소 기체하에서 반응 용액의 온도를 -78°C 로 유지하면서 n-butyl lithium(2.5 mol, 37.6 mL, 0.094 mol)을 30분 동안 서서히 가한 다음에 실온으로 서서히 올려 약 2시간 30분 동안 저어주었다. 다시 -78°C 로 온도를 내린 후에 ethylfluoroacetate(5 mL, 0.0052 mol)을 THF 10 mL에 희석하여 가하고 -30°C 까지 서서히 온도를 올리면서 1시간 동안 반응시킨 다음에 5%염산으로 중화시켰다.¹¹⁾ ethylacetate(50 mL)와 물(20 mL)을 넣고 유

기층을 분리한 다음에 magnesium sulfate로 건조하고 여과하였다 그 여액을 감압 농축시키고 column chromatography(전개용매, ethylacetate : hexane = 1 : 3)로 정제하여 순수한 2을 얻었다. Obs.m.p : 126°C , $^1\text{H-NMR} (\text{CDCl}_3/\text{TMS})\delta$ (ppm) : 1.26 (s. 9H), 4.96(s. 1H), 5.16(br. s. 1H), 5.73(s. 1H), 7.40~7.80(m. 3H)

(3) 2-(1-acetoxy-2-(fluoroethyl)-N-t-butylbenzenesulfonamide, 3

메탄올 100 mL에 2(5 g, 0.018 mol)를 용해시킨 후, sodium borohydride(0.7 g, 0.018 mol)을 넣고 40°C 에서 30분간 저어주면서 반응시켰다. Methanol을 제거한 다음에 MC를 넣어 용해시키고 5%염산으로 중화하였다. 유기층을 분리하여 magnesium sulfate로 건조하고 여과하여 그 여액을 감압 농축시켜 2의 환원된 기름 형태의 화합물인 2-(1-hydroxy-2-fluoroethyl)-N-t-butylbenzenesulfonamide를 얻었다.¹²⁾ 이 화합물을 100 mL의 MC에 다시 용해시키고 여기에 초산 무수물(1.98 mL, 0.02 mol)과 pyridine(1.6 mL, 0.02 mol) 그리고 N,N-diethylaminopyridine(0.12 g, 0.001 mol)을 넣고 실온에서 24시간 동안 저어준 다음, 이 용액을 5%염산으로 중화하고 감암 농축시켰다. 이 혼합물을 앞서의 전개용매로 column chromatography를 하여 순수한 생성물 3을 얻었다. Obs. m.p : $122\sim 124^\circ\text{C}$, $^1\text{H-NMR} (\text{CDCl}_3/\text{TMS})\delta$ (ppm) : 1.23(s. 9H), 2.20(s. 3H), 4.20~4.40(m. 1H), 5.00~5.20(m. 1H), 5.70(br. s. 1H), 6.46~7.00(m. 1H), 7.60~7.83(m. 3H), 8.06~8.33(m. 1H)

(4) 2-(1-acetoxy-2-(fluoroethyl)benzenesulfonamide, 4

3(5.24 g, 0.016 mol)을 trifluoroacetic acid 20 mL에 넣고 실온에서 12시간 동안 저어준 다음에 감압 농축시킨 후, MC에 녹였다. 5% sodium bicarbonate 용액으로 중화시키고 유기층을 분리하여 농축시킨 다음에 재결정하여 순수한 생성물 4를 얻었다.¹³⁾ Obs.m.p : $122\sim 124^\circ\text{C}$, $^1\text{H-NMR} (\text{CDCl}_3/\text{TMS})\delta$ (ppm) : 2.61(s. 3H), 4.20~4.40(m. 1H), 5.00~5.20(m. 1H), 5.70(br. s. 2H), 6.46~7.00(m. 1H), 7.60~7.83(m. 3H), 8.06~8.33(m. 1H)

(5) 2-(1-acetoxy-2-fluoroethyl)-N-[4,6-dimethoxypyrimidin-2-yl]aminocarbonyl]benzenesulfonamide, 5

4(1.91 g, 0.007 mol)를 30 mL의 acetonitrile에 녹인 다음에 실온에서 N-(4,6-dimethoxypyrimidin-2-yl)aminocarbonylphenyl ether(2 g, 0.007 mol)와 촉매로 1,8-diazabicyclo[5.4.0]undec-7-ene (DBU) 0.9 mL을 넣어 30분동안 저어주고, MC 100 mL로 희석시킨 후에 5%염산으로 산성화 하였다. 반응물중 유기층을 분리하여 물로 씻고 여과하여 농축시킨 다음에 재결정(MC : hexane = 1 : 1)하여 5를 얻었다. Obs. m.p : $176\sim 178^\circ\text{C}$, $^1\text{H-NMR} (\text{CDCl}_3/\text{TMS})\delta$ (ppm) : 2.03(s. 3H), 3.93(s. 6H), 4.16~4.36(m. 1H), 4.90~5.10(m. 1H), 5.76(br. s. 1H), 6.40~6.95(m. 1H), 7.30~7.70(m. 4H), 8.15~8.40(m. 1H), 13.2(br. s. 1H)

(6) N-[4,6-dimethoxypyrimidin-2-yl]aminocarbonyl]-2-치환(Z)-6-(1-hydroxy-2-fluoroethyl)benzenesulfonamide, 6a-6e

THF 80 mL에 5(2.5 g, 0.005 mol)와 lithium hydroxide

monohydrate(0.7 g, 0.015 mol)를 녹이고 실온에서 12시간 동안 저어준 다음에 물 100 ml를 가하여 희석하고 5% 염산으로 산성화 하였다.¹⁴⁾ 그리고 200 ml의 MC로 유기층을 분리한 후에 물층을 다시 100 ml의 MC로서 2번 반복 추출하고 여과하였다. 그 여액을 농축시키고 재결정(MC : hexane(1 : 1))하여 최종 생성물 **6a**를 합성하였다.

6a(2-H) : Obs. m.p.; 171~173°C, ¹H-NMR (CDCl₃/TMS) δ (ppm): 3.98 (s, 6H), 4.29~4.69 (m, 2H), 5.98 (m, 1H), 9.48 (s, 1H), 5.70 (s, 1H), 12.75 (s, 1H). MS (m/z, %): 125 (100%), M⁺ (401)

Z-치환기의 도입은 **1** 합성시 Z-치환 aniline 유도체를 사용하여 앞서 방법에 따라서 합성하였다.

6b (2-OCH₃) : Obs. m.p.; 154~155°C, ¹H-NMR (CDCl₃/TMS) δ (ppm): 3.87 (s, 6H), 4.27~4.69 (m, 2H), 5.71 (m, 1H), 6.17~6.30 (s, 1H), 7.0~7.14 (m, 1H), 7.48~7.71 (m, 2H), 7.8 (s, 1H), 12.94 (s, 1H). MS (m/z, %): 154 (100%), M⁺ (419)

6c (2-Cl) : Obs. m.p.; 130~135°C, ¹H-NMR (CDCl₃/TMS) δ (ppm): 3.96 (s, 1H), 4.38~5.0 (m, 2H), 5.8 (m, 2H), 6.39~6.51 (m, 1H), 7.46~7.6 (m, 2H), 7.46~7.6 (m, 2H), 7.88 (s, 1H), 7.97 (d, 1H), 13.0 (s, 1H). MS (m/z, %): 155 (100%), M⁺ (352)

6d (2-F) : Obs. m.p.; 140~141°C, ¹H-NMR (CDCl₃/TMS) δ (ppm): 3.83 (s, 6H), 4.11 (s, 1H), 4.24~4.76 (m, 3H), 5.7 (s, 1H), 6.58~6.69 (m, 1H), 7.63~7.80 (m, 2H), 8.2 (s, 1H), 8.22 (s, 1H), 12.83 (s, 1H). MS (m/z, %): 154 (100%), M⁺ (469)

6e (2-CF₃) : Obs. m.p.; 152~153°C, ¹H-NMR (CDCl₃/TMS) δ (ppm): 3.69~3.79 (s, 3H), 3.81~3.95 (s, 6H), 4.24~4.93 (m, 2H), 5.7 (s, 1H), 6.16~6.30 (m, 1H), 6.86~6.91 (m, 1H), 7.45 (m, 2H), 7.9 (s, 1H), 12.6 (s, 1H). MS (m/z, %): 154 (100%), M⁺ (431)

가수분해 반응 속도상수의 측정

15%(v/v)의 acetonitrile 수용액을 소정의 완충용액으로 pH를 조절하고 4 N sodium chloride 용액을 가하여 이온의 세기(μ)가 0.1 M이 되도록 하였다. 반응속도 상수는 45°C로 유지된 항온조 속에서 30 ml 시험관에 완충용액 11 ml와 (S)의 저장용액(3.75 × 10⁻³M) 2 ml 그리고 외부 표준물질로 4,6-dimethoxy-N-ethylaminopyrimidine 용액(1000 ppm) 2 ml를 넣은 다음에 잘 섞어 시간의 변화에 따른 (S)의 피크와 외부 표준물질 피크의 면적비 변화를 HPLC로 측정하여 반응 속도상수를 구하였다.⁹⁾ HPLC 조건으로 Column은 reverse phase인 Lichrosorb C₁₈(Merck Co.)을 사용하였고 이동상으로는 ammonium acetate(5 × 10⁻³ M)가 포함된 30% acetonitrile을, 그리고 detector 범위는 245 nm로 하였으며 주입량은 5 μl이었다.

또한, UV 분광광도법(λ_{max} , 244 nm, log_e; 4.40)으로도 시간의 경과에 따른 흡광도(농도) 변화를 측정하여 kinetic program¹⁵⁾으로 1차 반응속도 상수(sec⁻¹)를 구하였다.

결과 및 고찰

구조와 반응성

Z-비 치환(H)체 **6a**는 대략 2가지 유형의 분자내 회합(H-결합)된 형태 즉, sulfonyl group 인접의 imide(A) group과 2-pyrimidinyl group 중 N원자와의 사이에 회합된 형태(a)와 sulfonyl group과 2-pyrimidinyl group 인접에 위치한 imide(B) group과의 사이에 회합된 형태(b)를 생각 할 수 있다. 이들 두 형태의 total energy(Et)를 MO-PAC(Ver. 6.0) 프로그램으로 계산(a : -29447.27973 ev. 및 b : -28616.26619 ev.)하여 안정성을 비교 한($\Delta Et = -354.5$ ev.) 바, (a)가 (b)보다 안정성이 크((a)>(b))므로 (a)의 형태로 존재할 것이다. 그리고 실온에서 (S)의 가수분해 반응성은 amide나 carbamate화합물들이 나타내는 A_{AC2}, A-2, A-S_p2 및 E_iCB 등의 다양한 반응들이 주로 urea bridge에서 일어날 것이 예상된다.¹⁶⁾

pH 7.0의 수용액(45°C)에서 측정된 가수분해 반응 속도상수($k = 3.40 \times 10^{-7} \text{ sec}^{-1}$)로부터 온도가 10°C 상승 할 경우에 반응속도가 대략 2~2.5배 정도 빠르다는 사실을 감안한다면 실온(25°C)에서 반감기($T_{1/2} = 0.693/k$)는 약 3~4개월 정도가 될 것이며 알카리성 용액보다 산성용액에서 약 2배 빠른 가수분해 속도를 나타내었다. 한편, 앞서 방법¹⁷⁾에 따라 2가지 잡초들에 대하여 측정된 제초활성[obs. pI₅₀ : 피(*Echninochloa orizicola*): 6.40 및 올챙이 고랭이(*Scirpus juncoides*): 6.60]의 크기로 보아 비교적 높은 활성을 나타내는 것으로 평가되었다.

pH 효과와 반응 속도식

6a의 sigmoid pH-rate profile(Fig. 1)로부터 pH 1.0~5.0 사이에서는 pH에 무관한 반응속도 상수의 변화를 나타내는 일반 산-촉매 반응¹⁸⁾이 일어나지만, pH 5.0~8.0 사이의 영역에서는 수소이온(H⁺) 농도가 증가 할수록 반응 속도상수가 증가하는 특정 산-촉매 반응¹⁸⁾이 일어난다. 그러므로 pH 8.0 이하의 낮은 pH영역에서는 양

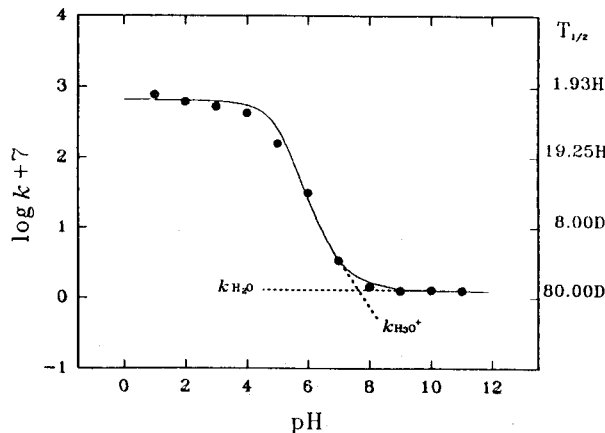


Fig. 1. pH rate profile and half life($T_{1/2}$) for the hydrolysis of **6a** in 15%(v/v) aqueous acetonitrile at 45°C. The points were experimental and the solid line was calculated by the rate equation (4).

성자 화($S + H^+ \rightleftharpoons SH^+$) 반응(K_{SH^+})이, 그리고 pH 9.0 이상에서는 물 분자에 의한 일반-염기(B) 촉매작용¹⁸⁾으로 촉진되는 반응속도 상수(k_{H_2O})를 나타내므로 반응 속도식은 다음 (1)식과 같다.

$$k_{obs} = k_1 [SH^+] + k_{H_2O} \quad (1)$$

전체 기질(S)의 농도는 $[S]_T = [S] + [SH^+]$ 이므로 양 성자화 반응식으로부터 $[S]_T$ 는 (2)식과 같으며 conjugate acid의 농도($[SH^+]$)는 (3)식과 같이 쓸 수 있다.

$$[S]_T = [SH^+] \left[\frac{K_{SH^+}}{[H^+]} + 1 \right] \quad (2)$$

$$[SH^+] = \left[1 - \frac{K_{SH^+}}{[H^+ + K_{SH^+}]} \right] ([S]_T) \quad (3)$$

(3)식을 (1)식의 형태로 정리하면, 전체 반응 속도식은 (4)식과 같이 표현된다.

$$k_{obs} = k_1 \left[1 - \frac{K_{SH^+}}{[H^+] + K_{SH^+}} \right] + k_{H_2O} \quad (4)$$

(4)식 중에서 k_1 값으로는 pH 4.75에서의 극대값($5.25 \times 10^{-5} \text{ sec}^{-1}$), k_{H_2O} 값으로는 pH 8.0~10.0 사이의 평균값($1.26 \times 10^{-7} \text{ sec}^{-1}$) 그리고 obs. k_a 상수(1.58×10^{-5}) 등을 (4)식에 대입하여 가수분해 반응 속도상수(k_{calc})를 계산하였다. Fig. 1의 점은 실험값(k_{obs})을 그런 것이고 실선은 (4)식으로 계산하여 구한 계산값(k_{calc})을 그런 것인데 두 값이 잘 일치함을 알 수 있다. 또한, 반응 속도식(4)에 속도론적인 자료(k_1 , k_{H_2O} , obs. K_a 및 $k_{obs} = 4.81 \times 10^{-6} \text{ sec}^{-1}$ (pH 6.0))들을 대입하여 구한 K_a 값(calc. $K_a = 1.02 \times 10^{-5}$)과 실험 측정값(obs. $K_a = 1.58 \times 10^{-5}$)이 잘 일치하므로 여기서 제안한 반응 메카니즘이 옳다는 것을 잘 입증하고 있다.

가수분해 반응 생성물의 확인

반응속도가 일정한 경향으로 진행되는 산성(pH 1.0)과 알칼리성 용액(pH 9.0)에서 일어나는 가수분해 반응 생성물을 확인하기 위하여 15%(v/v) acetonitrile 수용액에 **6a**(순도 97%) 100 mg을 녹이고 5시간(pH 1.0)내지 20일(pH 9.0)동안 환류 한 다음에 감압농축하여 TLC상에 전개(ethyl acetate : MC=1:1)시킨 결과, 두 pH에서 얻은 생성물(Prd.)들의 R_f 값이 0.64, (2-(1-hydroxy-2-fluoroethyl)benzenesulfonamide)와 0.51, (4,6-dimethoxyaminopyrimidine)로 동일함을 알았으며 기기분석 결과는 다음과 같다. R_f 0.64: Obs. m.p: 115~116°C, $^1\text{H-NMR}$ (CDCl_3 / TMS) δ (ppm): 3.1~3.25 (br. s. 1H), 3.5~5.0 (m. 2H), 5.2~5.35 (br. s. 2H), 5.7~5.9 (m. 1H), 7.4~7.7 (m. 3H), 8.0~8.1 (m. 1H), MS (m/z, %): 105 (100%), M^+ (219) 및 R_f 0.51: Obs.m.p: 93~94°C, $^1\text{H-NMR}$ (CDCl_3 / TMS) δ (ppm): 3.8 (s. 6H), 5.1~5.2 (br. s. 2H), 5.45 (s. 1H), MS (m/z, %): 155 (100%), M^+ (156)

용매효과와 pK_a 상수

6a의 가수분해 반응속도에 미치는 용매의 영향을

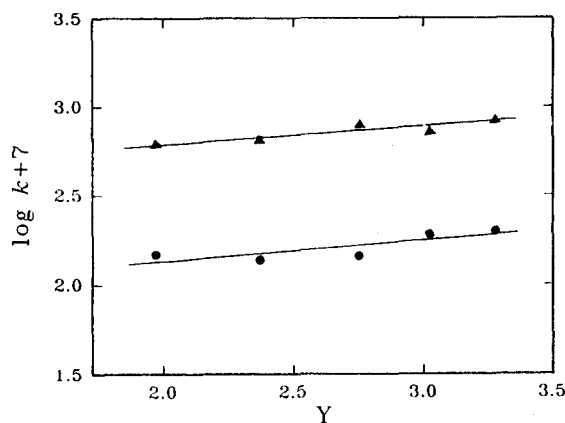


Fig. 2. Grunwald-Weinstein plots for the hydrolysis of **6a** at pH 1.0($\Delta-\Delta$) ($m=0.07$) and pH 6.0($\bullet-\bullet$) ($m=0.05$) in aqueous dioxane at 45°C.

알아보기 위하여 pH 1.0과 pH 6.0의 dioxane-수용액 중에서 측정된 반응 속도상수를 물의 농도에 관한 가용매 분해반응 속도식인 kivinen식($\log k = n \log[H_2O]$)¹⁹⁾과 Grunwald-Weinstein식($\log k = mY$)²⁰⁾에 적용하였다. 그 결과($n=0.45 \sim 0.52$ 및 $m=0.05 \sim 0.07$), 본 반응은 m 및 n 값의 기준($m \ll 1$ 및 $n < 3 \sim 4$)¹⁹⁻²⁰⁾에 따라 전형적인 A-2형의 2분자적 친핵 치환반응으로 가수분해가 일어날 것으로 예상되며, 한 예로 (S)에 대한 Grunwald-Weinstein plot를 Fig. 2에 나타내었다.

또한, 확장 Grunwald-Weinstein식($\log k = mY + lN$)²¹⁾에 적용 (pH 1.0, $\log k = 0.38Y + 4.70N + 3.12$ 및 pH 6.0, $\log k = 0.04Y + 2.52N + 2.51$, $r > 0.90$)하여 용매의 이온화력 척도(Y)와 용매의 친핵성도(N)의 절대값을 비교 한 바에 의하면 큰 비율($m:l$)로 친핵체-기질 사이의 결합 형성(l)이 기질-이탈기 사이의 결합파괴(m)보다 큰 경향($|m| \ll |l|$)이었다. 그러므로 pH 8.0이하에서는 친핵체-기질 사이의 결합형성이 기질-이탈기 사이의 결합파괴 정도보다 월등히 진행된 전이상태를 거치는 A_{AC2} 형의 반응이 주로 일어날 것이 예상된다. 또한, pH 4.75(NaAc : HAc=1:1)에서 염의 농도변화에 따른 반응 속도상수의 변화를 측정한 바, 묽은 염의 농도에서 반응 속도상수가 증가하는 일반-염기(B) 촉매효과¹⁹⁾가 나타났으며 일정한 극대값($k_1 = 5.25 \times 10^{-5} \text{ sec}^{-1}$)을 유지하였다.

한편, **6a**의 산 해리상수(K_a)를 측정하기 위하여²²⁾ 15% dioxane 수용액 중에서 pH변화에 따른 UV spectrum을 그린 결과, isosbestic point(232 nm 및 267 nm)를 중심으로 244 nm(S^-)와 227 nm(S)의 물-흡광 계수(ϵS 와 ϵS^-)를 pH에 대하여 나타낸 sigmoid plot로부터 pK_a 상수는 4.80(obs. $K_a = 1.58 \times 10^{-5}$)이었으므로 pK_b 상수는 9.20이었다.

Ortho-치환기(Z) 효과

반응속도에 미치는 ortho-치환기(Z)의 영향을 알아보기 위하여 Hammett식($\log(k/k_0) = \rho \sigma$)에 적용하였다. para와 meta-치환기는 자유에너지 직선관계(LFER)가

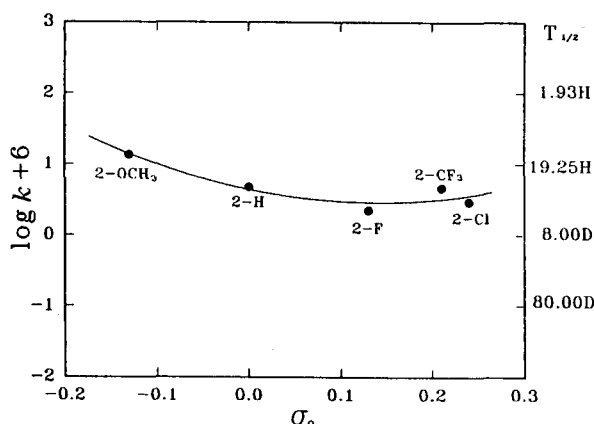


Fig. 3. Hammett plots for the hydrolysis of (S) derivatives at pH 6.0 and 45°C.

성립하지만 ortho-치환기는 공간을 통한 field-effect로 인하여 자유에너지 직선관계가 성립하지 않으므로²³⁾ ortho-치환기 효과의 검토가 용이하지 않다. 그러나 ortho-치환 phenylpropionic acid의 이온화 반응에 기초하여 얻은 새로운 치환기상수(σ_0)²⁴⁾와 (S)의 urea bridge 중에 있는 두 imide group의 chemical shift(δppm)와의 관계로부터 상관성이 비교적 양호한($r>0.88$) 1차식($\delta N\text{-H(A)} = 0.93\sigma_0 + 12.74$ 및 $\delta N\text{-H(B)} = 0.66\sigma_0 + 7.84$)을 얻었다.⁹⁾ 이들 식으로부터 Z-치환기가 센 전자끌게($\sigma_0 > 0$) 일수록 imide group의 chemical shift가 down shift하며 반응상수(ρ)를 비교($N\text{-H(A)} > N\text{-H(B)}$)한 바, N-H(A) group의 경우가 더 크므로 강한 전자끌게인 sulfonyl group인 접에 위치한 N-H(A) group에서 산성 수소의 이탈로 인하여 (S^-)가 생성되는 탈 양성자화 반응이 예상된다.

한편, pK_a 상수로부터 pH 4.8(pK_a 4.8)~pH 9.2(pK_b 9.2) 사이에서는 산의 농도가 증가할수록 전자밀게에 의하여 (SH^+)의 생성이 촉진($\rho < 0$)되는 A_{AC2} 반응이, 그리고 염기성이 증가할수록 전자끌게에 의하여 (S^-) 즉, (CB)의 생성이 촉진($\rho > 0$)되는 단분자적 제거(E₁) 형의 반응이 일어나게 된다. pH 6.0에서 **6a**~**6e**의 반응속도 상수를 Hammett식에 적용(Fig. 3)한 결과($\log k = 9.83\sigma_0^2 - 2.66\sigma_0 + 1.64$, $r=0.93$), 완만한 역 포물선의 2차식(최저값; 0.135)으로부터 Z-치환기가 주로 전자를 밀수록($\sigma < 0$) 가수분해 반응속도가 증가($\rho < 0$)하는 경향을 보이고 있다. 여기에서 최저값이 $\sigma=0.135$ 라는 사실은 산의 농도가 (SH^+)의 생성을 촉진시킴으로써 F-치환체($\sigma=0.14$)가 전자를 당기는 정도의 electronic effect를 상쇄하였다는 의미이다. 따라서 Hammett plot가 역 포물선의 관계를 보이는 것은 친핵성 치환반응과 같은 유형의 반응에서 속도 결정단계가 결합 파괴에서 결합생성 단계로 변화함을 시사하기 때문이다.²⁵⁾

열역학적 활성화 파라미터

반응속도 상수의 온도에 대한 의존성을 검토하기 위하여 pH 1.0과 pH 6.0으로 조절된 반응용액을 25°C~55

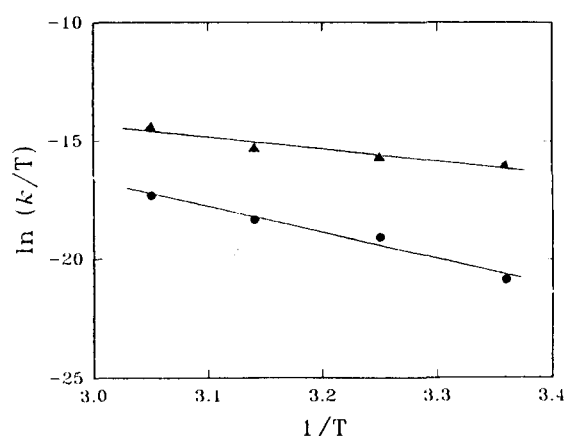


Fig. 4. The plots of $\ln(k/T)$ vs. $1/T$ for the hydrolysis of **6a** in 15%(v/v) aqueous acetonitrile at pH 1.0($\blacktriangle-\blacktriangle$) & pH 6.0($\bullet-\bullet$) and at 45°C.

°C까지 10°C간격의 일정한 온도에서 측정된 **6a**의 반응 속도 상수(k_{obs} , 10^6 sec^{-1} : pH 1.0: 3.2, 4.58, 7.80, 175.0 및 pH 6.0: 0.25, 1.63, 4.81, 10.03)를 Arrhenius식($\ln k = (-E_a/RT \cdot 1/T + \ln A)$ ²⁶⁾에 적용하여 활성화 에너지(E_a)를 구(pH 1.0: 10.87 kcal/mole 및 pH 6.0: 22.85 kcal/mole)하였다. 또한, 열역학 관계식($\ln(k/T) = -\Delta H^\circ/R \cdot 1/T + \Delta S^\circ/R + \ln(k/h)$)에 적용한 $\ln(k/T)$ 와 $1/T$ 에 대하여 상관성이 큰($r>0.95$) 직선식(pH 1.0: $(\ln(k/T)) = -5158.75 \cdot 1/T + 1.14$ 및 pH 6.0: $(\ln(k/T)) = -11187.94 \cdot 1/T + 16.90$)의 관계를 Fig. 4에 나타내었으며 기울기($-\Delta H^\circ/R$)로부터 enthalpy(ΔH°)를 그리고 y축 절편($\Delta S^\circ/R + \ln(k/h)$)으로부터 entropy(ΔS°)를 구(pH 1.0: $\Delta H^\circ = 10.25 \text{ kcal/mole}$, $\Delta S^\circ = -44.95 \text{ eu}$ 및 pH 6.0: $\Delta H^\circ = 22.23 \text{ kcal/mole}$, $\Delta S^\circ = -13.63 \text{ eu}$)하였다.

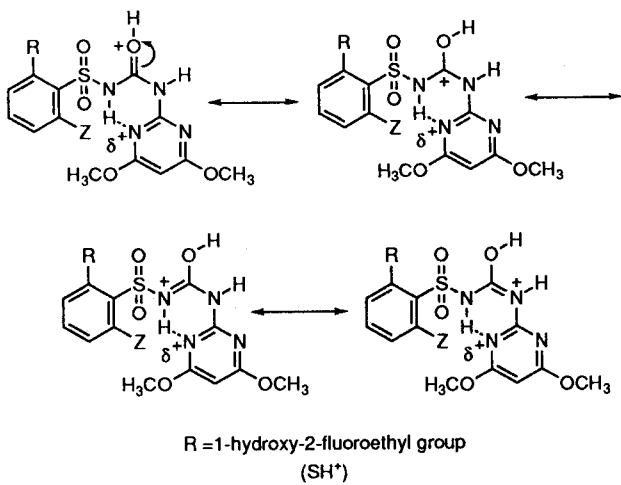
이와 같은 결과로부터 pH 1.0~4.0사이에서는 $A\text{-}S_E2$ 형 반응($\Delta S^\circ < 0$)²⁷⁾이 그리고 pH 4.0~7.0사이에서는 $A\text{-}2$ 형²⁸⁾ (또는 A_{AC2}) 반응($\Delta S^\circ > 0$)이 일어날 것이다. 그러나 pH 가 증가할 수록 entropy값이 음의 값으로 감소하는 경향이 두드러져 pH 9.0 이상에서는 양($\Delta S^\circ > 0$)의 entropy 값이 기대된다.

가수분해 반응 메카니즘

이상과 같은 ortho-치환기 효과($\rho > 0$ 및 $\rho < 0$), 열역학적 활성화 파라미터($\Delta S^\circ < 0$ 및 $\Delta H^\circ > 0$), 용매효과($|m| \ll |l|$) 및 생성물 분석결과 등으로부터 실험 사실을 합리적으로 설명할 수 있는 가수분해 반응 메카니즘을 scheme에 제안하였다.

즉, pH 1.0~4.0 사이의 강산성 용액중에서는 수소 이온농도에 무관하게 일정한 반응속도 상수를 나타내는 일반 산-촉매¹⁸⁾ 작용에 따른 prototropic mechanism으로 진행되는 $A\text{-}S_E2$ 형²⁷⁾의 반응($\rho < 0$)으로 그리고 pH 4.0~8.0 사이에서는 수소이온 농도에 의존적인 반응 속도상수를 나타내는 특정 산-촉매¹⁸⁾ 작용으로 A_{AC2} 형의 반응이 진행 될 것이다. pH 5.0을 중심(pK_a 4.80)으로 pH에 따른

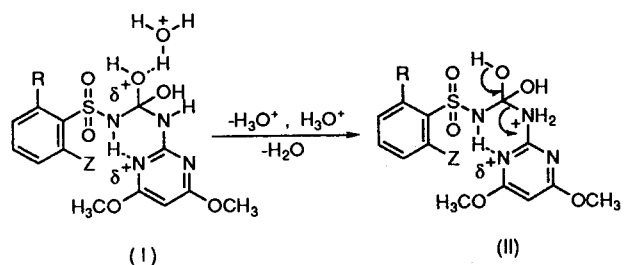
반응 속도상수의 변화(Fig. 1)는 이들 반응의 첫 단계 반응인 양성자화 단계가 속도 결정단계 인가($A-S_E2$) 아니가(A_{AC2})에 따라 나타나는 결과로 설명된다. 그러므로 pH 5.0 근처의 산성용액 중에서는 양성자화 단계와 conjugate acid(SH^+)에 대하여 물 분자가 참가하는 단계가 모두 속도 결정단계가 되는 multiple rate determining process로 진행되는 반응이 예상된다. 또한, 활성화에너지(E_a)가 산성(pH 1.0: $E_a = 10.25 \text{ Kcal/mol}$)용액 중에서 보다 pH가 증가 할 수록 증가(pH 6.0: $E_a = 22.85 \text{ Kcal/mol}$)하여 반응속도가 감소하는 것은 imide(A) group이 이온화(CB)되므로써 생성되는 음이온으로 인하여 전이 상태의 에너지가 증가하기 때문이다.²⁹⁾



먼저, pH 4.0~8.0의 영역에서 protolytic mechanism으로 진행되는 A-2형(또는 A_{AC})³⁰반응에 대하여 살펴보기로 한다. 이 반응의 첫 단계는 carbonyl group이 sulfonyl group보다 편재화 정도가 크기 때문에 산(H_3O^+)의 농도에 의존적으로 carbonyl oxygen protonation³¹되는 특정 산 촉매($k_{H_3O^+}$)반응에 의하여 Arrhenius착물인 (SH^+)가 빠르게 생성되는 pre-equilibrium 단계 (k_1)이다. 2단계 반응은 물 분자가 (SH^+)를 탈 양성자화 시키는 반응과 carbocation (SH^+)에 대한 물 분자의 친핵첨가 반응이 서로 경쟁적으로 일어남으로써 물 분자의 친핵첨가 반응($\rho < 0$)이 느리게 진행되는 속도결정 단계(rds.)이다. 이 경우에 carbocation(SH^+)에는 2개의 물 분자가 친핵첨가하여 사면체 중간체(I)가 생성되는 단계이기도 하며 관여하는 물 분자는 친핵체이자 일반-염기(B)로 각각 작용하는 것으로 알려져 있다.³²

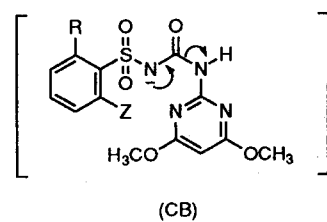
이어지는 3단계 반응은 (I)에서 이탈된 hydronium 이온이 2-pyrimidinyl group에 위치한 imide(B) group으로 빠르게 양성자화되어 ammonium이온(II)을 생성하는 단계이며 ammonium이온은 전자밀개인 4,6-dimethoxy group으로 인하여 안정화 된다. gem-diol구조를 갖는 (II)는 다시 물 분자에 의한 일반-염기 촉매작용(B)으로 탈 양성자화되어 carbonyl group이 재생되면서³³⁾ 동시에 C-N 결합이 분해되므로써 생성물(Prd.)인 2-aminopyrimidin-

과 sulfonamide로 전환되는 일련의 과정으로 진행될 것이다.



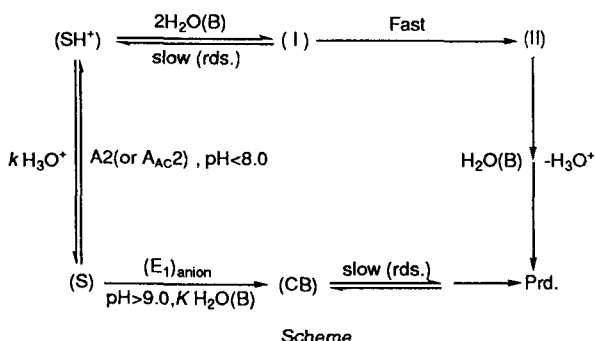
pH 9.0 이상(pK_b 9.20)의 알카리성 용액중에서 일어나는 반응은 pH의 변화에 의존적이지 않는 pH-효과(Fig. 1)와 역 포물선($r=0.93$) 관계(Fig. 3)를 나타내는 치환기 효과($\rho>0$) 그리고 pK_a 상수 등으로 부터 carbonyl group에 대한 물 분자의 친핵성 첨가-제거반응(Ad_{N-E})보다 물 분자가 일반-염기(B)로 작용(k_{H_2O})하여¹⁸⁾ sulfonyl group에 인접한 imide(A) group에서 일어나는 탈 양성 자화 반응으로 (CB)를 생성하는 단분자적 제거(E₁)형의 반응이 주로 일어날 것으로 밀어진다.

(CB)를 생성하는 반응에는 (가) 기질과 염기사이에 양성자의 가역적 교환이 이루어짐으로써 음이온에서 생성물로의 전환보다 출발물질로의 전환이 빨라(특정 염기-촉매) 1단계가 가역적이고 2단계가 속도 결정단계인 $(E_1CB)_R$ 반응, (나) 생성물로의 전환이 출발물질로의 전환보다 빨라 1단계가 비 가역적으로 속도 결정단계인 $(E_1CB)_f$ (또는 $(E_1CB)_{irr}$) 반응(일반 염기-촉매), (다) 음이온이 안정하여 생성물로의 전환이 느려서 1단계가 비 가역적으로 빠른 단계(일반 염기-촉매)이고 2단계가 속도 결정단계인 $(E_1)_{anion}$ 반응 등 대략 3가지 유형이 있다.³⁴⁾



본 반응은 (다)의 경우에 따른 단분자적 제거반응인 $(E_1)_{\text{anion}}$ 반응이 일어날 것으로 판단된다. 왜냐하면 (S)의 구조상 imide(A) group의 양편에 위치한 센 전자 끝게로 인하여 탈 양성자화 반응이 용이하게 일어남으로써 생성된 (CB)의 음이온이 안정할 뿐만 아니라, 2-aminopyrimidinyl group이 나쁜 이탈기이므로 생성물로의 전환 매우 느될것이기 때문이다. 따라서 반응의 첫 단계는 imide(A) group 인접에 센 전자끝게인 sulfonyl group으로 인하여 탈 양성자화 반응이 빠르게 일어나는 비 가역적인 단계이다. 그리고 2단계 반응으로 (CB)는 인접의 센 전자 끝게들로 의하여 안정하기 때문에 2-aminopyrimidinyl group의 느린 이탈로 인하여 isocyanate로의 전

환이 느리게 일어나는 속도결정 단계가 될 것이다. 두 번째 중간체인 isocyanate는 물과의 빠른 반응으로 이산화 탄소와 sulfonamide를 생성하게 된다. 따라서 치환기 효과는 전자를 끌수록 느린($\rho > 0$) 반응속도를 나타내는 일련의 (E_1 anion 형 반응³⁵⁾이 일어날 것이다.



다음 연구로는 보다 구체적인 (S)의 형태에 관하여 알아보고자 하며 여기에서 검토된 결과를 QSAR의 규명에 이용함으로써 적정한 잔류성과 높은 활성을 가지는 새로운 sulfonyl urea 계 제초성 화합물을 탐색하는 일련의 연구를 시도하고자 한다.

이상과 같은 연구결과에 따라 pH 7.0~9.0 사이에서는 carbocation(SH^+)과 conjugate base(CB)를 중간체로 하는 A-2형(또는 A_{AC2} 형) 반응과 (E_1 anion 형의 두 반응이 경쟁적으로 일어남을 알았다.

참 고 문 헌

- Baker, D. R., J. G. Fenyes and W. K. Morberg (1991) "Synthesis and Chemistry of Agrochemicals II", ACS, Washington D. C., p.16-31.
- Baker, D. R., J. G. Fenyes and J. J. Steffens (1992) "Synthesis and Chemistry of Agrochemicals III", ACS, Washington D. C., p.27-56.
- Larossa, R. A. and J. V. Schloss (1984) The sulfonyl urea herbicide sulfometuron-methyl is an extremely potent and selective inhibitor of acetolactate synthase in *salmonella typhimurium*. *J. Bio. Chem.* **259**, 8753-8759.
- Harvey, J. Jr., J. J. Dulka and J. J. Anderson, (1985) Properties of sulfometuron-methyl affecting its environmental fate: aqueous hydrolysis and photolysis mobility and adsorption on soil and bioaccumulation potential. *J. Agri. Food Chem.* **33**, 590-598.
- Kearney, P. C. and D. D. Kaufman (1988) Herbicides Chemistry: Degradation and Mode of Action., Ch. 3, Marcel Dekker Inc., New York and Basel.
- Smith C. (1991) Sulfonyl urea Herbicides. Agrow 5, PJB. Pub., Richmond, UK.
- Sung N. D., T. Y. Yun, K. S. Kwon and T. R. Kim (1990) Kinetics and mechanism of hydrolysis of insecticidal 2-chloro-1-(2,4,5-trichlorophenyl)vinyldimethylphosphate.(Gardon) *J. Korean Agric. Chem.* **34**, 483-489.
- Sung N. D., H. Y. Kim and C. K. Park (1994) Kinetics and mechanism of hydrolysis of insecticidal O,O-dimethyl- α -cyanobenzylideneaminoxyphosphorothioates.(Volaton). *ibid.* **37**, 124-129.
- Lee C. B. (1994) Synthesis and hydrolysis mechanism of herbicidal N-(pyrimidin-2-yl)aminocarbonyl-ortho-substituted benzenesulfonamide derivatives. M.Sc. Thesis, Graduate School, Chung-Nam National Univ. Korea.
- Dechristopher, P. J., J. P. Admek and G. D. Lyon (1974) Simple Deaminations V. Preparation and some properties of N-acetyl-N,N-disulfonamides. *J. Org. Chem.* **39**, 3525-3534.
- Vecchia, L. D. and I. Vlattas (1977) Lithiation of 4,4-dimethyl-2(2-thineyl)-2-oxazoline. *ibid.* **42**, 2649-2653.
- Rama Rao, A. V., M. Gurjar, P. A. Sharma, V, and K. Kaiwar (1990) Enantioselective Reactions of Ketones with Oxazaborolidines derived from (R) and (S)- α,α -diphenyl-2-piperidine methanol. *Tetrahedron Lett.* **31**, 2341-2347.
- John, D. C. and W. L. Matier (1974) Trifluoroacetic acid Cleavage of N-tert-butylamides. A New Synthesis of Primary Sulfamides. *J. Org. Chem.* **39**, 556-562.
- House, H. O., G. S. Nomura, D. V. Derveer and J. E. Wissinger (1986) Perhydrozulenes 6, 4-keto derivatives with bridgehead methyl substituents. *ibid.* **51**, 2408-2416.
- Curve fitting & Kinetics Simulation Software Developed by SERENA SOFTWARE (1990) Bloomington Box 3076, IN. 47402-3076 USA.
- Zabicky J. (1970) The Chemistry of Amides, Ch. 4 Interscience Pub., London.
- Cho. K. Y (1992) Expansion and improvement of a screening system for development of new pesticides. KRICT Report p.9-14.
- Maskill H. (1985) The Physical Basis of Organic Chemistry, Ch. 8 Catalysis, p 315-362 Oxford Science Pub., London.
- Kivinen V. (1965) The Kinetics of the Solvolysis of Acid Chlorides. *Acta Chem. Scand.* **19**, 845-852.
- Fainberg, A. H. and S. Winstein (1956) Correlation of solvolysis rate. *J. Am. Chem. Soc.* **78**, 2770-2782.
- Schadt, F. L., T. W. Bentley, and P. V. R. Schleyer. (1976) The SN_2-SN_1 spectrum. *ibid* **98**, 7667-7678.
- Cookson, R. F. (1974) The Determination of Acidity Constants. *Chem. Rev.* **75**, 5-16.
- Johnson C. D. (1980) The Hammett Equation. Ch. 3 p 92, Cambridge Univ. Press, Cambridge.
- Soloman, I. J. and R. Filler (1963) A new method of evaluating ortho σ -constants. *J. Am. Chem. Soc.* **85**, 3492-3496.
- Schreck, J. O. (1971) Non linear harmmett relation. *J. Chem. Educ.* **48**, 103-107.
- Ref. 18. Ch. 3, 96.
- Gold V. Ed. (1968) Advances in Physical Organic Chemistry. Vol.6, p.63-101, Academic Press, London and New York.
- Lowry T. H. and K. S. Richardson (1989) Mechanism and Theory in Organic Chemistry, 3rd Ed. Ch. 3. p 276 & Ch. 8, p 697. Harper & Low Pub., New York.
- Repta, A. J. and T. Higuchi (1969) Synthesis, Isolation and Some Chemistry of Citric acid anhydride. *J. Pharm. Sci.* **58**, 1110-4.
- Hoops, S. C., J. Van Oosterdiep, and R. L. Schowen (1984)

- Energetics of carbonyl addition and elimination. methoxide ion with esters. *J. Org. Chem.* **49**, 435-438.
31. Patai S. (1986) The Chemistry of the Carbonyl group. Part I, Ch.9, Basicity of Carbonyl Compound Interscience Pub., London.
32. March J. (1992) Advanced Organic Chemistry, Ch.10., p 379.
- John Wiley & Sons, New York.
33. Ref. 31. Ch.3, Formation of carbonyl group in hydrolytic Reactions.
34. Ref. 32. Ch.17, p.991-995.
35. Ref. 28. Ch.7, p.591-594.

Kinetics and Hydrolysis Mechanism of Herbicidal N-(2,6-dimethoxypyrimidin-2-yl)aminocarbonyl-2-(1-hydroxy-2-fluoroethyl)benzenesulfonamide Derivatives

Nack-Do Sung^{1*}, Chan-Bog Lee², Jae-Wook Ryu³ and Dae-Whang Kim³ (*Department of Agricultural Chemistry, Chungnam National University, Taejon 305-764, Korea; ²Korea New Pamerceutical Co. Ltd, R & D Center, Chunglim-Dong 45, Taejon 305-243, Korea; ³KRICK, P. O. Box 9, Daedong-danji, Taejon 305-606, Korea*)

Abstract : The new six herbicidal N-[(pyrimidin-2-yl)aminocarbonyl]-2-substituted-6-(1-hydroxy-2-fluoroethyl)benzenesulfonamide derivatives(S) were synthesized and rate constants for the hydrolysis of thier in the range of pH 1.0~10.0 have been studied in 15%(v/v) aqueous acetonitrile solution at 45°C. From the basis of the results, pH-effect, solvent effect, ortho-substituent effect, thermodynamic parameters(ΔH^\ddagger & ΔS^\ddagger), pKa constant(4.80), rate equation, analysis of hydrolysis products(2-(1-hydroxy-2-fluoroethyl)benzenesulfonamide & 4,6-dimethoxyaminopyrimidine), it may be concluded that the general acid catalyzed hydrolysis through A-S_e2 mechanism and specific acid catalyzed hydrolysis through A-2 type(or A_{Ac}2) mechanism proceeds via conjugate acid(SH⁺) and tetrahedral intermediate(I) below pH 8.0, whereas, above pH 9.0, the general base catalyzed hydrolysis by water molecules(B) through (E₁)_{anion} mechanism proceeds via conjugate base(CB). In the range between pH 7.0~pH 9.0, these two reactions occur competitively.

*Corresponding author